



УДК 577.113.4(+7):577.152.31\*264'14.543.422.25

## РАСЩЕПЛЕНИЕ РНК В СОСТАВЕ ГИБРИДНЫХ ДУПЛЕКСОВ РИБОНУКЛЕАЗОЙ Н *E. coli*

### III. СУБСТРАТНЫЕ СВОЙСТВА ГИБРИДНЫХ ДУПЛЕКСОВ РНК И ОЛИГОДЕЗОКСИРИБОНУКЛЕОТИДОВ, СОДЕРЖАЩИХ ОСТАТОК БЛЕОМИЦИНА А<sub>5</sub>

© 2002 г. П. Е. Воробьев\*, Д. В. Пышный\*, Э. Викстром\*\*, В. Ф. Зарытова\*\*#

\* Новосибирский институт биоорганической химии СО РАН,  
630090, Новосибирск, просп. Акад. Лаврентьева, 8;

\*\* Университет Томаса Джейферсона, Филадельфия, Пенсильвания, США

Поступила в редакцию 21.05.2001 г. Принята к печати 04.10.2001 г.

Исследовано влияние остатка блеомицина А<sub>5</sub>, ковалентно присоединенного к 4-, 8- и 12-звенным олигодезоксирибонуклеотидам, на субстратные свойства образуемых ими непрерывных и тандемных (в присутствии немодифицированных октануклеотидных эффекторов) гибридных дуплексов. Показано, что блеомициновые производные олигодезоксирибонуклеотидов формируют гибридные дуплексы, обладающие практически такой же термостабильностью, что и немодифицированные олигодезоксирибонуклеотиды. РНК в составе гибридных дуплексов, содержащих остаток блеомицина, гидролизуется РНКазой Н *E. coli*, однако начальная скорость гидролиза ( $v_0$ ) в случае непрерывных гетеродуплексов снижена в 2.6–3.4 раза. Сделано предположение, что основной причиной ингибирующего действия остатка блеомицина являются стерические факторы. В меньшей степени влияние блеомицина на  $v_0$  проявляется в случае тандемных гибридных комплексов. Вероятно, субстратные свойства таких гибридных дуплексов в основном определяются эффекторами. Из всех исследованных тандемных систем блеомициновое производное тетрануклеотида, фланкированное двумя эффекторами, формирует с РНК гибридный дуплекс с наилучшими субстратными свойствами.

**Ключевые слова:** блеомициновые производные олигонуклеотидов; рибонуклеаза Н.

#### ВВЕДЕНИЕ

Более 30 лет ведется интенсивный поиск реакционноспособных производных олигонуклеотидов, способных к эффективному и сайт-направленному взаимодействию с нуклеиновыми кислотами (НК) *in vitro* и *in vivo* [2–5]. К настоящему времени получен широкий спектр производных олигонуклеотидов для использования при искусственной регуляции экспрессии генов. В перспективе такие производные могут стать основой терапевтических средств нового поколения, способных селективно воздействовать на генетический материал. Большинство известных реакционноспособных производных олигонуклеотидов реагирует с НК однократно, после чего полностью теряют свою активность. Более перспективно использование химически активных группировок, теоретически способных многократно расщеплять НК. С этой целью были получены производные олигонуклеотидов, несущие металлокомплексные группировки

ки, такие, как Fe-EDTA [6], Си-фенантролин [7], металлопорфирины [8]. Эти соединения катализируют реакции окисления органических субстратов и обладают потенциальной способностью к многократной деструкции НК. Однако, как оказалось, они быстро деградируют в растворе с потерей реакционной способности. Вследствие этого эффективность модификации такими олигонуклеотидными реагентами даже при использовании избытка по отношению к НК-мишени и сохранении олигонуклеотидной части реагента не превышает 20–50%.

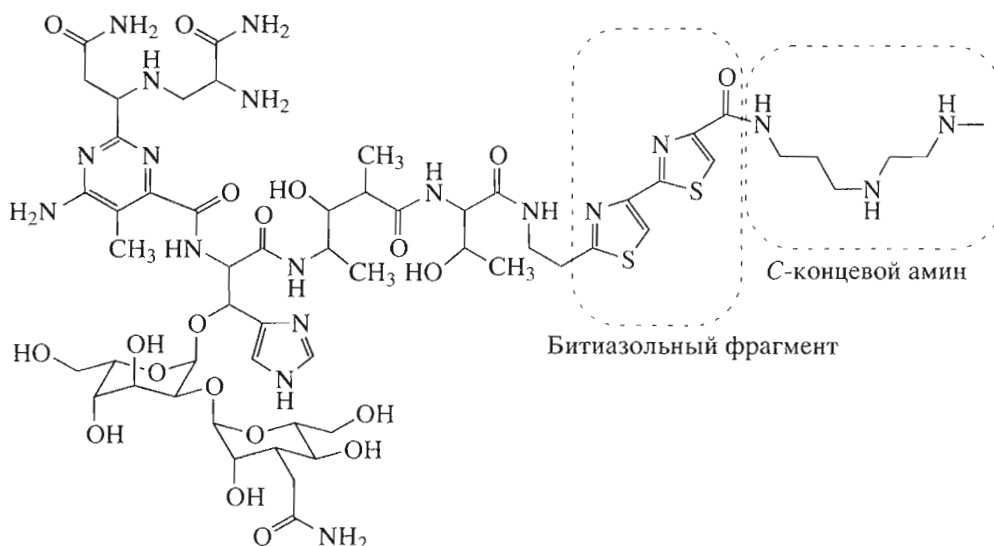
Среди всего спектра существующих модифицированных олигонуклеотидов особое место занимают производные, несущие остаток антибиотика блеомицина А<sub>5</sub>. На сегодняшний день это единственные производные олигонуклеотидов, способные сайт-специфически [9] и в катализическом режиме [10] вызывать деструкцию одноцепочечных ДНК. Кроме того, такие производные эффективно разрушают двуцепочечные ДНК [11].

Блеомициновые производные олигонуклеотидов особенно эффективны в тандемных системах, где они фланкированы олигонуклеотидами-эф-

Сообщение II см. [1].

# Автор для переписки (эл. почта: zarytova@niboch.nsc.ru; тел.: (3832) 396224).

Blm –

Структура остатка блеомицина А<sub>5</sub>.

фекторами. Нами было показано [12], что в таких системах один остаток блеомицина способен вызвать деструкцию шести и более молекул ДНК-мишени. Хотя в качестве основной мишени для блеомициновых производных олигонуклеотидов рассматривалась ДНК, весьма вероятно, что *in vivo* они могут проявлять аналогичные свойства, взаимодействуя и с мРНК. Эффективность антисмысловых олигонуклеотидов зачастую прямо связана с их способностью стимулировать гидролиз матричных РНК рибонуклеазой Н в составе образованных гибридных дуплексов [13]. Это побуждает к изучению влияния вносимых модификаций на субстратные свойства образуемых гибридных дуплексов.

Цель данной работы – исследование влияния остатка блеомицина в составе олигодезоксирибонуклеотидов на субстратные свойства образуемых ими гибридных дуплексов (схема 1) по отношению к рибонуклеазе Н *E. coli*.

## РЕЗУЛЬТАТЫ И ОБСУЖДЕНИЕ

В сообщении [14] мы показали, что процесс гидролиза РНК рибонуклеазой Н в tandemных дуплексах может протекать иначе, чем в непрерывных. В данной работе исследовано влияние блеомицина на гидролиз РНК как в непрерывных (комплексы 1–4), так и в tandemных (комpleксы 5, 6, 8, 9) гибридных дуплексах. В качестве РНК-мишени использовали <sup>32</sup>P-меченный 20-звенный олигорибонуклеотид. Продукты гидролиза РНК анализировали гель-электрофорезом в денатурирующих условиях (см. “Эксперимент. часть”).

Исследование влияния остатка блеомицина, коvalентно присоединенного по 5'-фосфатной группе олигодезоксирибонуклеотидов, было проведено в условиях полного связывания РНК исследуемыми соединениями. В этом случае различия в начальных скоростях гидролиза РНК ( $v_0$ ) отражают различия в субстратных свойствах гибридных дуплексов. Как видно из таблицы, значения температур плавления непрерывных и tandemных комплементарных комплексов достаточно высоки. Исходя из этих данных, можно считать, что степень ассоциации таких комплексов при 20°C должна быть близка к полной даже при переходе к более низким концентрациям компонентов [15]. Поэтому влияние остатка блеомицина на субстратные свойства гибридных дуплексов оценивали по начальной скорости гидролиза рибонуклеазы Н.

## Температуры плавления гибридных комплексов

Комплекс	ДНК-цепь	$T_{\text{пл}}$ , °C*
1	$pN_8$	48
2	$BlmpN_8$	48
3	$pN_{12}$	67
4	$BlmpN_{12}$	67
8	$pN_8(e2) + BlmpN_4 + pN_8(e1)$	36, 53, 40
9	$pN_8(e2) + pN_4 + pN_8(e1)$	39, 53, 40

\* Для комплексов 8 и 9 три последовательных числа указывают температуры плавления комплексов, образованных  $BlmpN_4$  (для 8) и  $pN_4$  (для 9) в присутствии эффекторов e1 и e2; комплекса, образованного e1; комплекса, образованного e2. Условия см. “Эксперимент. часть”.

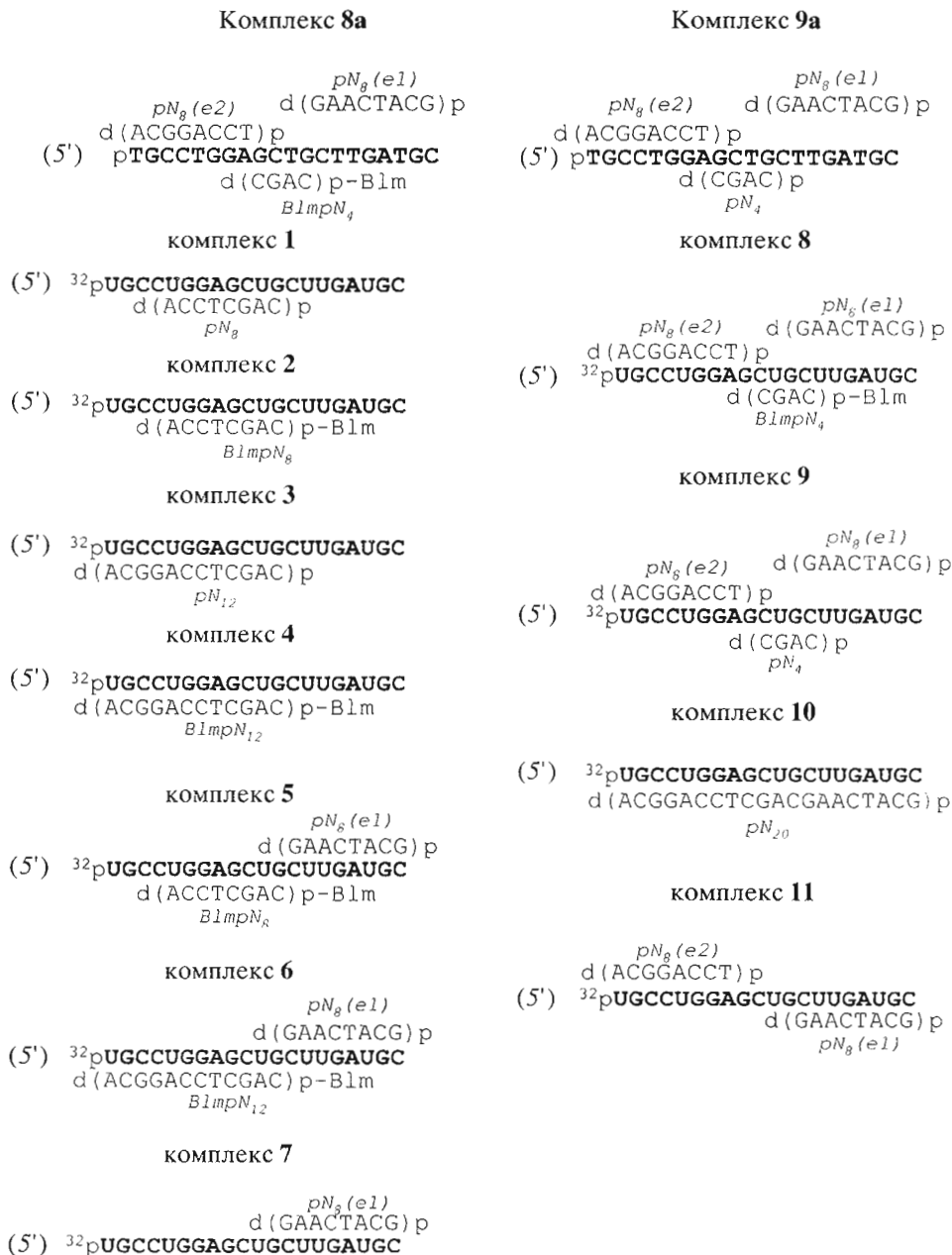


Схема 1.

нуклеазой Н 20-звенной РНК при 20°C, т.е. в условиях ее полного связывания.

Как следует из данных, представленных на рис. 1a–e, все исследованные блеомицинсодержащие олигонуклеотиды стимулируют гидролиз РНК как в непрерывных (комплексы 1–4), так и в tandemных (комплексы 5, 6, 8, 9) гибридных дуплексах. Однако влияние остатка блеомицина проявляется в этих комплексах по-разному.

При расщеплении РНК в дуплексах с 12-мерами (комплексы 3 и 4) регистрируются три основных продукта, соответствующих гидролизу фос-

фодиэфирных связей U11–G12 (*p11*), A8–G9 (*p8*) и U5–G6 (*p5*), в то время как при гидролизе в дуплексах с 8-мерами (комплексы 1 и 2) наблюдается лишь один основной продукт – *p11* (рис. 1a). Эти данные позволяют заключить, что присоединение остатка блеомицина к олигонуклеотидам не оказывает существенного влияния на позиционную направленность расщепления РНК в составе непрерывных гибридных комплексов с такими нуклеотидами.

Из данных, приведенных на рис. 1b, видно, что начальная скорость гидролиза РНК в комплексах с 12-мерами (как с немодифицированным (дуп-

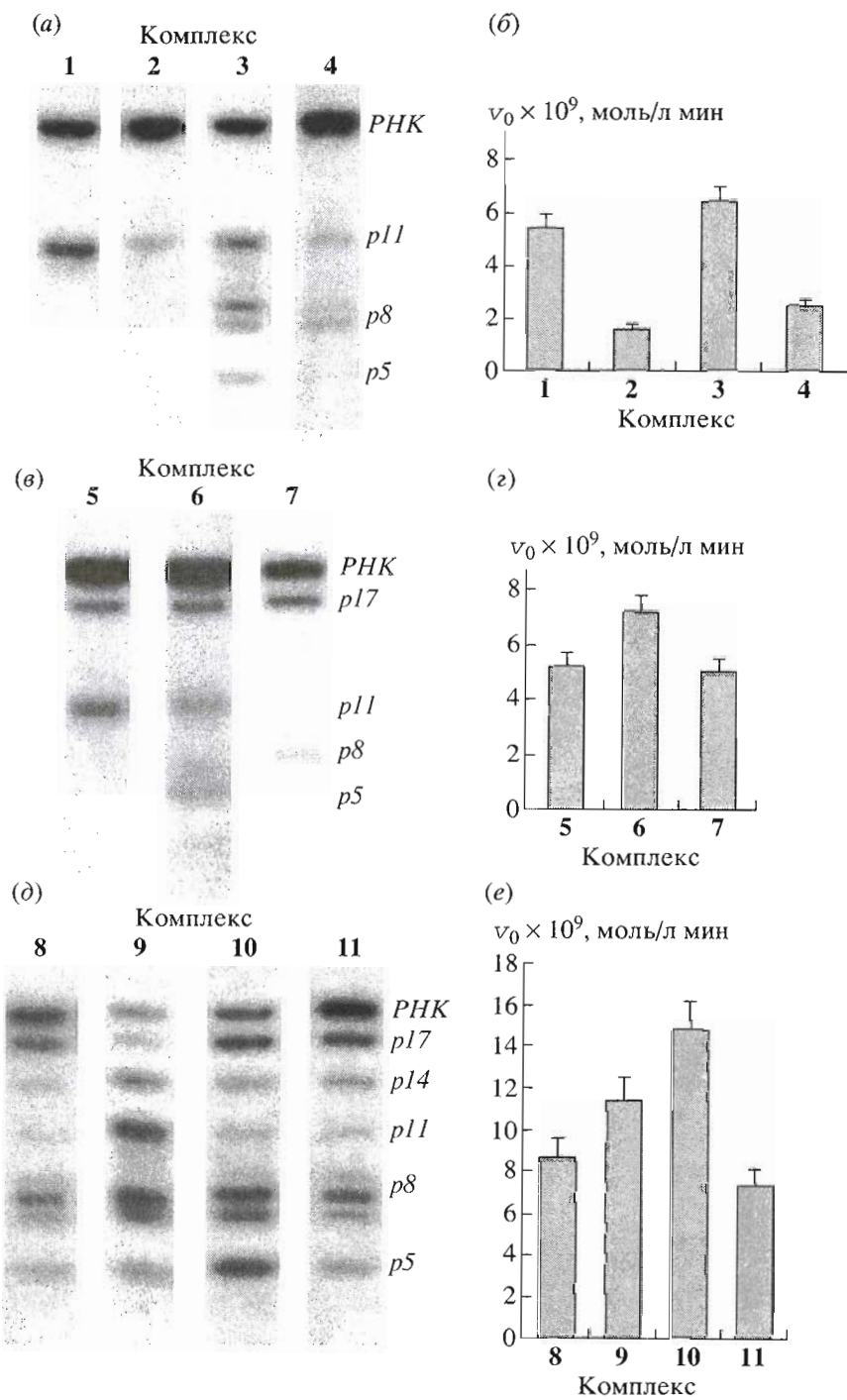
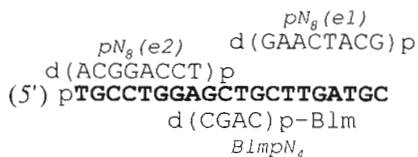


Рис. 1. Электрофорограммы продуктов гидролиза (a), (б), (в) через 15 мин после начала реакции и начальная скорость гидролиза  $v_0$  (г), (д), (е) РНК с помощью рибонуклеазы Н в комплексах 1–11. Условия см. “Эксперимент. часть”.

лекс 3), так и с блеомицинсодержащим (4)) несколько выше, чем в комплексах с соответствующими 8-мерами. По-видимому, это обусловлено большей протяженностью гибридного дуплекса в случае 12-меров. В комплексах 2 и 4, образованных с участием  $BlmpN_8$  и  $BlmpN_{12}$ , значения  $v_0$  в 3.4 и 2.6 раза ниже, чем в соответствующих комп-

лексах 1 и 3, образованных с участием немодифицированных олигонуклеотидов  $pN_8$  и  $pN_{12}$ . Сравнение начальных скоростей гидролиза РНК в комплексах 1 и 2 (а также 3 и 4) показывает, что введение остатка блеомицина по 5'-концу олигодезоксирибонуклеотида,участвующего в образовании непрерывного гибридного дуплекса, приводит

## Комплекс 8а



## Комплекс 9а

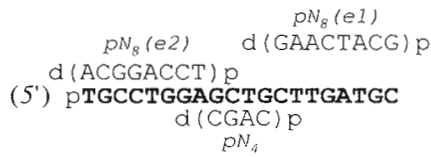


Схема 2.

к заметному ухудшению субстратных свойств последнего по отношению к РНКазе Н (рис. 1б).

Это влияние блеомицина может быть обусловлено различными причинами, например, его встраиванием в гибридный дуплекс или возникающими стерическими затруднениями. Известно, что именно встраивание битиазольного остатка в малую бороздку *B*-формы обеспечивает эффективное связывание блеомицина с ДНК-дуплексом [16]. Существующие модели взаимодействия неконъюгированного блеомицина с двуцепочечной ДНК предполагают частичную интеркаляцию битиазольного остатка и расположение металловсвязывающего центра антибиотика в малой бороздке ДНК [17]. При сравнении термической денатурации гибридных и ДНК-дуплексов (как немодифицированных, так и содержащих ковалентно связанный остаток блеомицина) становится ясно, что взаимодействие блеомицина с гибридными дуплексами может протекать иначе, чем с двуцепочечной ДНК. Оказалось, что совпадают значения  $T_{\text{пл}}$  комплексов, образованных блеомициномсодержащим и немодифицированным тетрануклеотидом с ДНК-аналогом РНК-матрицы в присутствии

октануклеотидных эффекторов (в комплексах **8а** и **9а** (схема 2) – ДНК-аналогах гибридных комплексов **8** и **9**).

Напротив, комплекс, образованный блеомициновым производным тетрануклеотида с РНК в присутствии эффекторов, имеет  $T_{\text{пл}}$  на 3°C ниже, чем комплекс, образованный немодифицированным тетрануклеотидом (см. таблицу).

Более существенные отличия обнаружены при термической денатурации дуплексов **8** и **8а**. В случае ДНК-дуплекса **8а** на длинах волн 300–320 нм, где регистрируется поглощение блеомицинового остатка, выявлен выраженный переход в интервале температур 20–45°C (рис. 2, кривые 1 и 2). В том же интервале температур регистрируется переход при 270 нм (рис. 2, кривая 3), соответствующий кооперативной денатурации тандемного комплекса с участием блеомицинасодержащего тетрануклеотида с ДНК. При термической денатурации гибридного дуплекса **8** переход при 300 нм отсутствует (рис. 2, кривая 4). Наличие такого перехода при термической денатурации комплекса **8а** является, по-видимому, следствием батохромного сдвига соответствующей полосы ( $\lambda_{\text{max}} \approx 310$  нм [18, 19]) в спектре поглощения блеомицина при его взаимодействии с ДНК-дуплексом.

Этот сдвиг приводит к тому, что при термической денатурации комплекса **8а** наблюдается повышение оптической плотности при  $\lambda = 300$  нм (рис. 2, кривая 1) и снижение при  $\lambda = 320$  нм (рис. 2, кривая 2). Учитывая, что полоса с  $\lambda_{\text{max}} \approx 310$  нм соответствует поглощению битиазольного фрагмента блеомицина, логично предположить, что отсутствие подобного перехода в интегральной кривой термической денатурации комплекса **8** при 300 нм (рис. 2, кривая 4) свидетельствует об отсутствии взаимодействия битиазольного остатка блеомицина с гибридным дуплексом. В случае гибридного дуплекса, приближающегося по основным параметрам к *A*-форме [20], взаимодействие с дуплексом битиазольного фрагмента, а следовательно, и всего остатка блеомицина, практически невозможно [21]. Отсутствие влияния концевого остатка блеомицина на стабильность комплексов **2** и **4** (см. таблицу) дополнительно свидетельствует в пользу этого предположения. Таким образом, в качестве основной причины негативного влияния остатка блеомицина на субст-

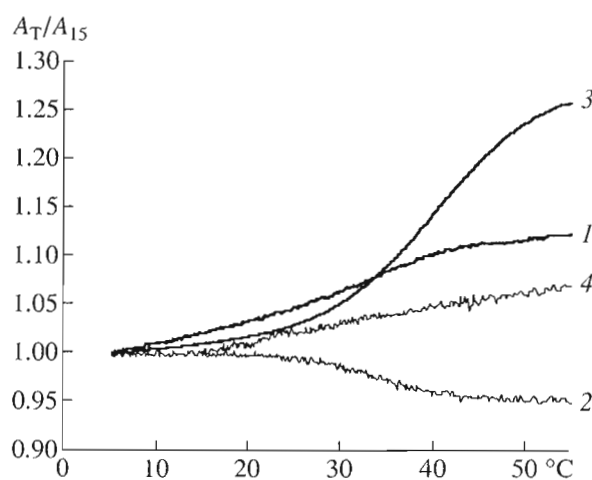


Рис. 2. Изменение нормированного оптического поглощения  $A_T/A_{15}$  при термической денатурации ДНК/ДНК-комплекса **8а** на длинах волн 300 (1), 320 (2), 270 нм (3) и гибридного РНК/ДНК-комплекса **8** на длине волны 300 нм (4).  $A_T$  и  $A_{15}$  – оптическое поглощение при данной температуре и при 15°C. Условия. “Эксперимент. часть”.

ратные свойства гибридных дуплексов по отношению к РНКазе Н можно рассматривать прежде всего стерические факторы.

Другой возможной причиной ухудшения субстратных свойств может являться 5'-концевое расположение остатка блеомицина в составе олигонуклеотида. Ранее отмечалось [14, 22], что первичным сайтом атаки фермента, как правило, служит 3'-конец РНК. Также отмечалось [23], что наличие на 5'-конце олигодезоксирибонуклеотида фосфатной группы существенно увеличивает эффективность расщепления РНК в гибридном дуплексе. Блокирование 5'-концевой фосфатной группы остатком блеомицина (присоединяемого за C-концевой амин [24]) также может быть причиной ухудшения субстратных свойств гибридного дуплекса.

Снижение субстратных свойств гибридных дуплексов практически нивелируется при переходе от непрерывных блеомицинсодержащих комплексов **2** и **4** (рис. 1 $a, b$ ) к тандемным **5** и **6** (рис. 1 $c, e$ ), дополнительно содержащим октануклеотидный эфектор  $pN_8(e1)$ . Так, для тандемного комплекса **5** ( $RNA/BlmpN_8+pN_8(e1)$ ) значение начальной скорости гидролиза РНК  $v_0$  практически совпадает с  $v_0$  для комплекса **1**, образованного с участием немодифицированного октануклеотида ( $RNA/pN_8$ ). Аналогичные результаты получены и в случае додекануклеотидов: значение  $v_0$  для комплекса **6** (рис. 1 $e$ ) близко к значению  $v_0$  для комплекса **3** ( $RNA/pN_{12}$ ) (рис. 1 $c$ ). Наблюдаемое увеличение начальной скорости гидролиза в тандемных комплексах **5** и **6** по сравнению с непрерывными комплексами **1** и **2**, по-видимому, связано с интенсивным гидролизом РНК в немодифицированной области комплекса  $RNA/pN_8(e1)$ . Это предположение подтверждается составом продуктов гидролиза РНК. При гидролизе в комплексах **5** и **6** наряду с накоплением продуктов  $p5-p11$  происходит интенсивное накопление продукта  $p17$ , образующегося при гидролизе фосфодиэфирной связи A17-U18. Этот же продукт наблюдается при гидролизе РНК в комплексе **7**, образованном РНК и эфектором  $pN_8(e1)$  (рис. 1 $b$ ). Значения начальной скорости гидролиза РНК  $v_0$  для комплексов **5** и **7** практически равны, а значение  $v_0$  для комплекса **6** несколько выше, чем для комплекса **7**, по-видимому, за счет большей протяженности гибридного дуплекса.

Далее были исследованы субстратные свойства тандемного комплекса, ДНК-цепь которого состояла из блеомицинового производного короткого олигонуклеотида, flankированного двумя октануклеотидными эфекторами. Известно, что в таких комплексах короткие олигонуклеотиды и их производные формируют стабильные комплексы с ДНК [25–27]. Из данных таблицы следует, что  $BlmpN_4$  в составе тандемного комплекса **8** формирует достаточно стабильный дуп-

лекс и с РНК ( $T_m$  36°C). Следует отметить, что комплекс **8** по протяженности, последовательностям и расположению остатка блеомицина идентичен комплексу **6** и отличается от него только наличием дополнительного одноцепочечного разрыва.

Первым существенным отличием гидролиза РНК в комплексе **8** по сравнению с комплексом **6** оказалось наличие дополнительного продукта  $p14$ , соответствующего гидролизу по фосфодиэфирной связи U14–U15. Таким образом, при гидролизе в комплексе **8** регистрируются все основные продукты ( $p17, p14, p11, p8, p5$ ) (рис. 1 $d$ ), наблюдавшиеся нами ранее [14] для этой же РНК в гибридных дуплексах с тандемом немодифицированных олигодезоксирибонуклеотидов (комплекс **9**) и с соответствующим ему нативным 20-мером (комплекс **10**). Оказалось, что начальная скорость гидролиза РНК в тандемном комплексе **8**, ДНК-цепь которого состояла из блеомицинового производного тетрануклеотида и двух октануклеотидных эфекторов, превышает значения  $v_0$  не только для непрерывных комплексов **2** и **4**, образованных с участием более протяженных блеомициновых производных  $BlmpN_8$  и  $BlmpN_{12}$ , но и для их тандемных комплексов **5** и **6**, ДНК-цепь которых состояла из эфектора  $pN_8(e1)$  и блеомицинового производного  $BlmpN_8$  или  $BlmpN_{12}$  соответственно.

Полученные данные свидетельствуют о том, что из всех исследованных гибридных комплексов, сформированных с участием блеомицинсодержащих олигонуклеотидов, гидролиз РНК эффективнее всего протекает в тандемном комплексе **8**.

Продукты  $p17, p14, p11, p8, p5$ , наблюдаваемые при гидролизе в комплексах **8**, **9** и **10**, регистрируются и при расщеплении РНК в гибридном комплексе **11**, образованном РНК и октануклеотидными эфекторами в отсутствие блеомицинового производного тетрануклеотида. Значения  $v_0$  в комплексах **8** и **11** также оказались очень близки (рис. 1 $d$ ). Более того, оказалось, что практически совпадают кинетические кривые гидролиза РНК в этих комплексах (включая кривые накопления 5'-меченых продуктов гидролиза по отдельным сайтам) (рис. 3 $a$ – $e$ ). Такое совпадение характера гидролиза могло бы указывать на простую идентичность комплексов **8** и **11**, а именно, на очень низкую степень ассоциации конъюгата  $BlmpN_4$  в комплексе с РНК. Однако данные по термической денатурации соответствующего дуплекса свидетельствуют об обратном (см. таблицу), и при 20°C в присутствии эфекторов следует ожидать высокой степени ассоциации комплекса  $RNA \cdot BlmpN_4$ . Следовательно, характер гидролиза РНК рибонуклеазой Н в комплексах **8** и **9** может отличаться только за счет присутствия остатка блеомицина в комплексе **8**. Сходство процессов гидролиза РНК в комплексах **8**, **9** и **11** – одинаковые продукты гидролиза и высокие значения  $v_0$  – позволяет пред-

положить, что субстратные свойства данных гибридных дуплексов определяются в основном парой октануклеотидных эффекторов  $pN_8(e1)$  и  $pN_8(e2)$ . Переход от комплекса **11** к комплексу **9** сопровождается улучшением субстратных свойств за счет роста протяженности гибридного дуплекса. В комплексе **8** это положительное влияние, по-видимому, компенсируется негативным эффектом остатка блеомицина, вследствие чего субстратные свойства комплексов **8** и **11** практически совпадают.

Таким образом, показано, что остаток блеомицина, введенный по 5'-концевой фосфатной группе олигодезоксирибонуклеотидов  $pN_8$  и  $pN_{12}$ , снижает субстратные свойства формируемых непрерывных гибридных дуплексов. Это снижение может быть в значительной степени скомпенсировано использованием тандемных систем, где помимо блеомицинодержащих олигонуклеотидов имеются эффекторы – немодифицированные олигодезоксирибонуклеотиды. Среди исследованных тандемных систем блеомициновое производное тетрануклеотида, фланкированное двумя эффекторами, формирует с РНК гибридный дуплекс с наилучшими субстратными свойствами, сравнимыми со свойствами гибридных дуплексов немодифицированного тандема и протяженного 20-звенного олигодезоксирибонуклеотида. Следовательно, блеомициновые производные олигодезоксирибонуклеотидов в тандемных системах удовлетворяют требованиям, предъявляемым к антисенс-олигонуклеотидам, поскольку образуют стабильный гибридный комплекс с РНК и стимулируют эффективный гидролиз РНКазой Н.

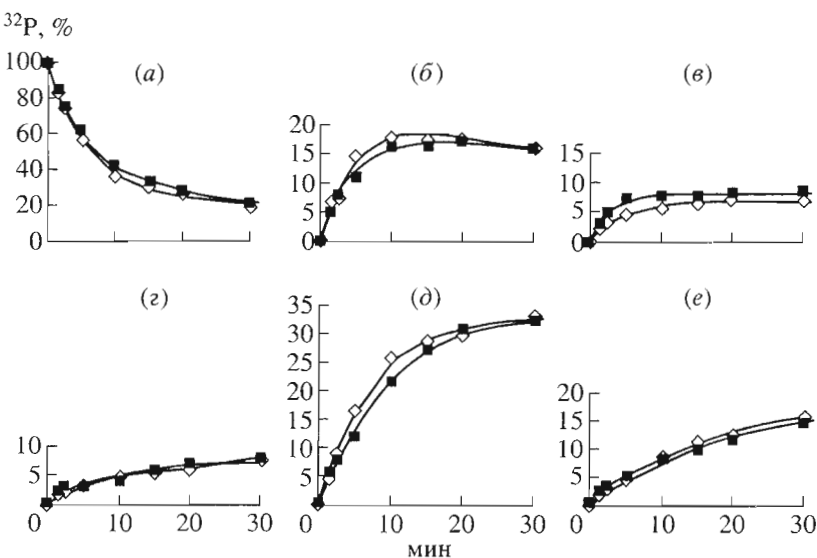
## ЭКСПЕРИМЕНТАЛЬНАЯ ЧАСТЬ

В работе использованы полинуклеотидкиназа фага T4 (Сибэнзим, Россия) и рибонуклеаза Н *E. coli* (Promega, США).

Эйкозарибонуклеотид UGCCUGGAGCUGCUCUGAUGC синтезирован твердофазным *H*-fosфонатным методом [28] и любезно предоставлен А.Г. Веньяминовой и М.Н. Репковой (Новосибирский институт биоорганической химии). Олигодезоксирибонуклеотиды синтезированы по методу [29]. Блеомициновые производные олигонуклеотидов синтезированы по методу [30].

Концентрации олигонуклеотидов и их производных определяли спектрофотометрически с использованием УФ-детектора жидкостного хроматографа “Милихром” (Россия). Коэффициенты молярного поглощения на длине волны 260 нм были рассчитаны по методу [31].

Термическую денатурацию олигонуклеотидных дуплексов исследовали в растворе, содержащем 0.05 М KCl, 0.01 М какодилат натрия (рН 7.4), 0.01 М MgCl<sub>2</sub>, при концентрации каждого олигонуклеотидного компонента  $1.3 \times 10^{-5}$  М. Перед плавлением буферные растворы, содержащие комплементарные олигонуклеотиды в эквимолярных количествах, нагревали до 80–90°C и медленно охлаждали до 4–5°C. Кривые оптического плавления регистрировали на установке с терморегулируемой оптической кюветой на базе УФ-детектора жидкостного хроматографа “Милихром” (Россия) с одновременной детекцией на длинах волн 260, 270, 280, 300 и 320 нм. Скорость нагрева образцов не превышала 0.7–1°C/мин. Кривые на-



**Рис. 3.** Кинетические кривые гидролиза РНК рибонуклеазой Н (a) и накопления продуктов гидролиза в комплексах **8** ( $RNA/pN_8(e1)+BlmpN_4+pN_8(e2)$ ) и **11** ( $RNA/pN_8(e1)+pN_8(e2)$ ): p17 (b); p14 (c); p11 (d); p8 (e); p5 (e). Условия см. “Эксперимент. часть”.

гревания всех исследованных образцов совпадали с кривыми охлаждения.

Введение радиоактивной метки в РНК-мишень проводили с использованием полинуклеотидкиназы фага T4 (5 ед.акт.), 0,1 мКи [ $\gamma$ -<sup>32</sup>P]АТР в буферном растворе, содержащем 50 мМ Трис-HCl (рН 7,6), 10 мМ MgCl<sub>2</sub>, 0,1 мМ спермидин, 0,1 мМ EDTA, 5 мМ дитиотреит (общий объем 15 мкл). Меченую РНК-мишень выделяли с использованием электрофореза в 20% ПААГ, элюировали из геля буферным раствором, содержащим 0,25 М ацетат аммония, 0,5 мМ EDTA, 0,1% додецилсульфат натрия, и осаждали этанолом.

Гидролиз рибонуклеазой *H. E. coli* проводили в растворе, содержащем 20 мМ HEPES (рН 8,0), 50 мМ KCl, 10 мМ MgCl<sub>2</sub> и 1 мМ дитиотреит. Концентрация РНК-мишени во всех экспериментах составляла  $1 \times 10^{-7}$  М, олигодезоксирибонуклеотидов –  $2 \times 10^{-6}$  М. Реакционные смеси (10 мкл) инкубировали при 20°C в течение 15 мин, затем добавляли 0,15 ед.акт. рибонуклеазы *H.* Через необходимое время добавляли 1 мкл раствора полиуродиловой кислоты (0,1 мг/мл) и осаждали олигонуклеотиды 2% раствором перхлората лития в ацетоне. Осадок растворяли и наносили на 20% ПААГ. Электрофорез проводили в денатурирующих условиях (0,09 М Трис-Н<sub>3</sub>BO<sub>3</sub> (рН 8,3), 8 М мочевина, 40°C).

Начальную скорость гидролиза  $v_0$  определяли по начальным участкам кинетических кривых (0–5 мин).

Гели радиоавтографировали на пленку CP-BU NIF 100 (AGFA, Бельгия). Интенсивность сигналов на радиоавтографах оценивали с помощью программного пакета Gel-Pro после предварительной калибровки по жидкостному сцинтилляционному счетчику Rackbeta (Wallac LKB, Финляндия) в воде по Черенкову. Относительная погрешность определения во всех опытах не превышала 20%. За степень расщепления принимали отношение интенсивности определяемой полосы к суммарной интенсивности всех полос в дорожке.

Работа выполнена при поддержке РФФИ (грант № 99-04-49731) и Fogarty International Research Collaboration Award TW01094.

## СПИСОК ЛИТЕРАТУРЫ

1. Воробьев П.Е., Пышная И.А., Пышный Д.В., Репкова М.Н., Веньяминова А.Г., Зенкова М.А., Иванова Е.М., Скальфи-Ханн К., Зелигер Х., Бонопра Ж.М., Зарытова В.Ф. // Биоорган. химия. 2000. Т. 26. С. 844–851.
2. Belikova A.M., Zarytova V.F., Grineva N.I. // Tetrahedron Lett. 1967. V. 8. P. 3557–3562.
3. Prospects for Antisense Nucleic Acid Therapy of Cancer and AIDS / Ed. E. Wickstrom. N.Y.: Wiley-Liss, Inc., 1991.
4. Кнорре Д.Г., Зарытова В.Ф., Бадашкеева А.Г., Фёдорова О.С. Реакционноспособные производные олигонуклеотидов как ген-направленные биологически активные вещества. Итоги науки и техники. Биотехнология. Т. 37. Ред. Шабарова З.А. М.: ВИНИТИ, 1991. С. 20–32.
5. Knorre D.G., Vlassov V.V., Zarytova V.F., Lebedev A.V., Fedorova O.S. Design and Targeted Reactions of Oligonucleotide Derivatives. Boca Raton: CRC Press, Inc., 1994.
6. Lin S.B., Blake K.R., Miller P.S. // Biochemistry. 1989. V. 28. P. 1054–1061.
7. Chen C.B., Sigman D.S. // J. Am. Chem. Soc. 1988. V. 110. P. 6570–6572.
8. Frolova E., Fedorova O., Knorre D. // Biochimie. 1993. V. 75. P. 5–12.
9. Sergeyev D.S., Zarytova V.F., Mamaev S.V., Godovikova T.S., Vlassov V.V. // Antisense Res. Dev. 1992. V. 2. P. 235–241.
10. Sergeyev D.S., Godovikova T.S., Zarytova V.F. // Nucl. Acids Res. 1995. V. 23. P. 4400–4406.
11. Сергеев Д.С., Годовикова Т.С., Зарытова В.Ф. // Биоорган. химия. 1995. Т. 21. С. 188–196.
12. Sergeyev D.S., Vorobjev P.E., Zarytova V.F. // Nucleosides Nucleotides. 1997. V. 16. P. 1575–1577.
13. Walder R.Y., Walder J.A. // Proc. Natl. Acad. Sci. USA. 1988. V. 85. P. 5011–5015.
14. Воробьев П.Е., Зарытова В.Ф. // Биоорган. химия. 2000. Т. 26. С. 728–734.
15. Williams A.P., Longfellow C.E., Freier S.M., Kierzek R., Turner D.H. // Biochemistry. 1989. V. 28. P. 4283–4291.
16. Chien M., Grollman A.P., Horwitz S.B. // Biochemistry. 1977. V. 16. P. 3641–3647.
17. Bansal M., Stubbe J., Kozarich J.W. // Nucl. Acids Res. 1997. V. 25. P. 1846–1853.
18. Takita T., Muraoka Y., Fujii A., Itoh H., Maeda K., Umezawa H. // J. Antibiot. 1972. V. 25. P. 197–199.
19. Povirk L.F., Hogan M., Dattagupta N. // Biochemistry. 1979. V. 18. P. 96–101.
20. Fedoroff O.Yu., Salazar M., Reid B.R. // J. Mol. Biol. 1993. V. 233. P. 509–523.
21. Wilson W.D., Ratmeyer L., Zhao M., Strekowski L., Boykin D. // Biochemistry. 1993. V. 32. P. 4098–4104.
22. Shatz O., Mous J., LeGrice S.F.J. // EMBO J. 1990. V. 9. P. 1171–1176.
23. Крынецкая Н.Ф., Сухомлинов В.В., Рейнтамм Т.Г., Метелев В.Г., Шабарова З.А. // Вестн. Моск. ун-та. Сер. 2. Химия. 1990. Т. 31. С. 305–309.
24. Сергеев Д.С., Денисов А.Ю., Зарытова В.Ф. // Биоорган. химия. 1996. Т. 22. С. 54–57.
25. Зарытова В.Ф., Кутявин И.В., Левина А.С., Мамаев С.В., Подыминогин М.А. // Докл. АН СССР. 1988. Т. 302. С. 102–104.
26. Kutyavin I.V., Podyminogin M.A., Bazhina Yu.N., Fedorova O.S., Knorre D.G., Levina A.S., Mamaev S.V., Zarytova V.F. // FEBS Lett. 1988. V. 238. P. 35–38.
27. Зарытова В.Ф., Кутявин И.В., Мамаев С.В., Подыминогин М.А. // Биоорган. химия. 1992. Т. 18. С. 895–900.

28. Веньяминова А.Г., Горн В.В., Зенкова М.А., Комарова Н.И., Репкова М.Н. // Биоорган. химия. 1990. Т. 16. С. 941–950.
29. Зарытова В.Ф., Иванова Е.М., Романенко В.П. // Биоорган. химия. 1983. Т. 9. С. 516–521.
30. Zarytova V.F., Sergeyev D.S., Godovikova T.S. // Bioconjugate Chem. 1993. V. 4. P. 189.
31. Handbook of Biochemistry and Molecular Biology: Nucleic Acids / Ed. G.D. Fasman. Cleveland: CRC Press, 1975. V. 1. P. 589.

## Cleavage of RNA in Hybrid Duplexes by *E. coli* Ribonuclease H. III. Substrate Properties of RNA Duplex Complexes with Oligodeoxyribonucleotides Containing a Bleomycin A<sub>5</sub> Residue

P. E. Vorobjev\*, D. V. Pyshnyi\*, E. Wickstrom\*\*, and V. F. Zarytova\*\*

\*Phone: +7 (3832) 396-224; e-mail: zarytova@niboch.nsc.ru

\*Novosibirsk Institute of Bioorganic Chemistry, Siberian Division, Russian Academy of Sciences,  
pr. Akademika Lavrent'eva 8, Novosibirsk, 630090 Russia

\*\*Thomas Jefferson University, Philadelphia, PA, USA

The effect of the bleomycin A<sub>5</sub> residue linked to four-, eight-, and twelve-mer oligodeoxyribonucleotides on the substrate properties of their tandem and continuous (with or without unmodified octanucleotide effectors) hybrid duplexes was studied using *E. coli* RNase H. The bleomycin derivatives of oligodeoxyribonucleotides were shown to form hybrid duplexes with practically the same thermostability as those formed by unmodified oligodeoxyribonucleotides. The RNA in the bleomycin-containing hybrid duplexes is cleaved by the *E. coli* RNase H; however, the initial hydrolysis rate ( $v_0$ ) is 2.6–3.4-fold reduced for the continuous duplexes. In the case of tandem hybrid complexes, the effect of bleomycin on  $v_0$  was less pronounced. We hypothesized that steric factors play a key role in the bleomycin inhibition and effectors probably determine the substrate properties of such hybrid complexes. Of all the tandem systems studied, the RNA duplex with the bleomycin-containing tetranucleotide flanked with two effectors displayed the best substrate properties. The English version of the paper: *Russian Journal of Bioorganic Chemistry*, 2002, vol. 28, no. 4; see also <http://www.maik.ru>.

*Key words:* bleomycin–oligodeoxyribonucleotide conjugates, ribonuclease H